

Application 01



Chariot élévateur à bateaux

X – ENS – PSI – 2012

Savoirs et compétences :

Présentation

Le chariot élévateur, objet de cette étude, permet la manutention de bateaux de 3000 kg à une hauteur de 8 m. Il est principalement constitué :

- du chariot qui assure le déplacement de l'ensemble et apporte la puissance pour la préhension et le levage;
- du tablier, constitué du mât et des fourches, qui permet la préhension et la dépose du bateau.



Phase de levage du bateau

Objectif Permettre au conducteur de charger et décharger le bateau en toute sécurité :

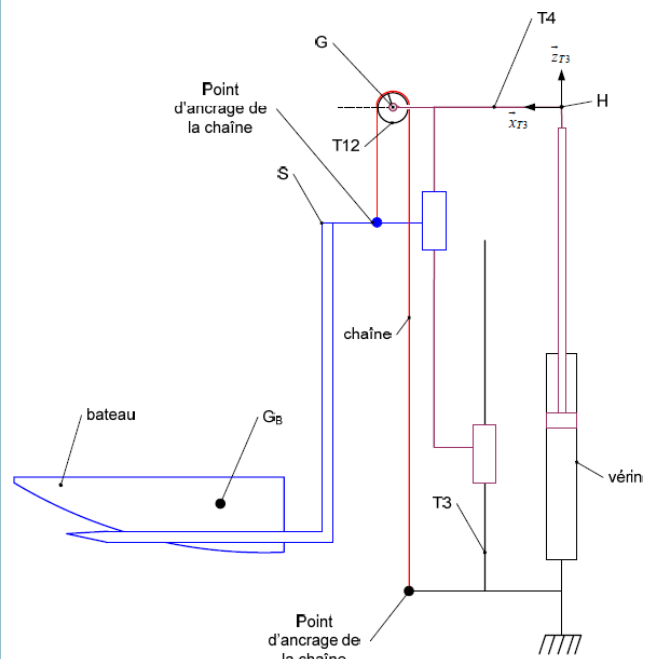
- req 102 : vitesse de levage en charge : 0.33 m s^{-1} ;
- req 103 : temps pour atteindre la vitesse de levage en charge : 0.4 s.

Dans cette partie, on considère que le chariot est à l'arrêt et que le levage est le seul mouvement actif. Le modèle retenu pour cette étude est le schéma de principe de la suivante. En raison de la symétrie du tablier par rapport à son plan médian vertical, le modèle d'étude peut se ramener à un système comprenant un seul vérin, une seule chaîne et une seule poulie. L'actionneur est un vérin hydraulique dont le corps est en liaison encastrement avec le mât inférieur. La tige est solidaire du mât supérieur. Le levage de l'ensemble $S = \{T5, T6, T7, T8, T9, T10, T11\}$ est obtenu à l'aide d'une chaîne présentant un point d'ancrage sur le mât inférieur et un point d'ancrage sur l'ensemble S. Cette chaîne roule sans glisser sur le pignon T12 qui est en liaison pivot par rapport au mât supérieur. Le bateau étant à l'arrêt en position basse, le conducteur actionne le levage du bateau. L'effort de poussée fourni par le vérin est F_V (considéré comme constant). On note I_{T12} le

moment d'inertie de la poulie T12 par rapport à son axe de rotation, R_{T12} son rayon. Sa masse est négligée. Les masses des différents solides sont rappelées dans le tableau ci-dessous :

Solide	Masse
Ensemble (S)	m_S
Bateau (B)	m_B
Mât inférieur (T3)	m_{T3}
Mât supérieur (T4)	m_{T4}
Chaîne (C)	négligée

Les liaisons sont parfaites. La chaîne est non dissipative. Le repère \mathcal{R}_3 peut être considéré comme un référentiel galiléen pour les conditions de l'étude. Les axes \vec{z}_{T3} et \vec{z}_0 sont confondus pour les conditions de l'étude.

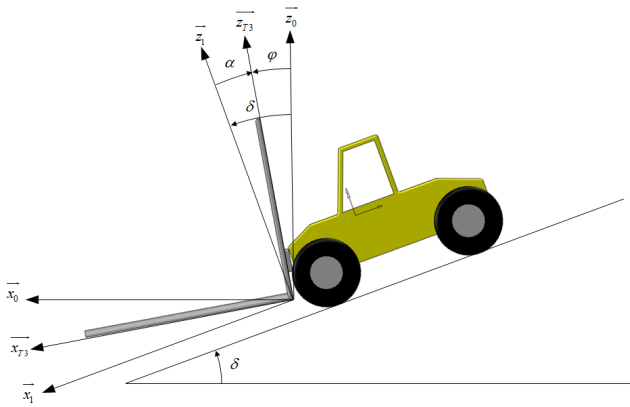


Question 1 Déterminer l'accélération galiléenne du bateau en fonction de l'effort fourni par le vérin et des caractéristiques du système. Expliquer qualitativement comment cette valeur peut permettre de valider l'exigence 103.

Phase de déplacement

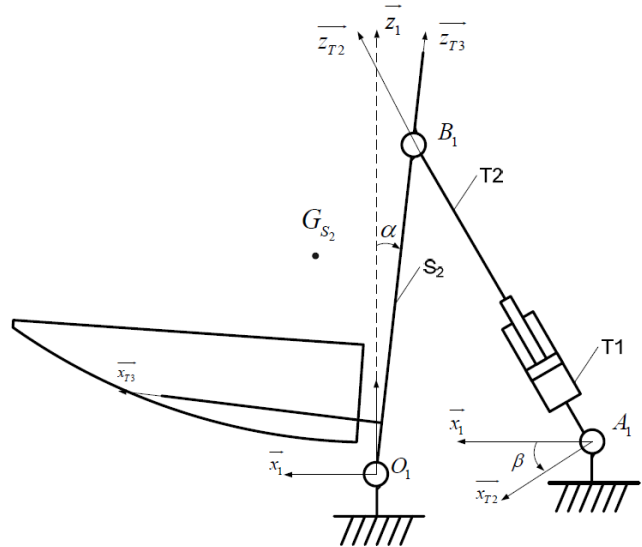
La zone de stockage des bateaux se situe nécessairement à une altitude supérieure à celle du quai de déchargement. Afin d'éviter le glissement du bateau lorsque le chariot descend une pente, un dispositif permet de maintenir les fourches horizontales durant le déplacement. Lors d'une phase de décélération, les fourches sont automatiquement inclinées vers l'arrière pour éviter le glissement du bateau. Ce mouvement, de faible amplitude, est assuré par l'asservissement des vérins d'inclinaison du tablier T1, T2 et T1', T2'. Ce dispositif présente l'avantage de prendre en charge de manière entièrement automatisée l'un des mouvements du tablier. Le conducteur peut alors charger et mettre à l'eau le bateau sans avoir à gérer manuellement le mouvement d'inclinaison. La figure suivante permet de définir :

- l'angle de basculement $\alpha = (\vec{z}_1, \vec{z}_{T3})$;
- l'angle de la pente $\delta = (\vec{z}_0, \vec{z}_1)$;
- l'angle à asservir $\varphi = (\vec{z}_0, \vec{z}_{T3}) = \alpha + \delta$.



Question 2 Quand le chariot circule à vitesse constante, quelle est la valeur de l'angle $\varphi(t)$ qui permet d'assurer le maintien de l'horizontalité des fourches ? Justifier.

Nous considérons dans cette partie que le seul mouvement actif est le basculement. L'objectif est d'obtenir un modèle dynamique du mécanisme de basculement à partir de la modélisation plane proposée sur la figure suivante.



Les solides pris en compte pour l'étude sont :

- l'ensemble $S_2 = \{ T3, T4, T5, T6, T7, T8, T9, T10, T11, B \}$ en liaison pivot d'axe (O_1, \vec{y}_0) par rapport au chariot 1 de centre de gravité G_{S_2} . Le moment d'inertie de l'ensemble S_2 par rapport à l'axe sera noté J_{S_2} et sa masse m_{S_2} . La liaison pivot entre l'ensemble S_2 et le chariot génère un couple résistant $\vec{C}_\mu = -\mu \dot{\alpha} \vec{y}_0$ et $\vec{O}_1 O_{G_{S_2}} = x_{G_{S_2}} \vec{x}_{T3} + z_{G_{S_2}} \vec{z}_{T3}$;
- un vérin équivalent $V = \{ T1, T2 \}$ dont la tige est en liaison pivot d'axe (A_1, \vec{y}_0) par rapport au chariot 1 et le corps en liaison pivot d'axe (B_1, \vec{y}_0) par rapport à l'ensemble S_2 . La masse et l'inertie du vérin sont négligées. Le vérin développe un effort au cours du mouvement qui sera noté $\vec{F}_V = p(t) S \vec{z}_{T2}$ où $p(t)$ est la différence de pression entre les deux chambres du vérin.

On pose $\vec{A_1 B_1} = (\lambda_0 + \lambda) \vec{z}_{T2}$. Le paramétrage est tel que si $\alpha = 0$ alors $\lambda = 0$.

Question 3 En appliquant le théorème de l'énergie-puissance et en admettant que l'angle α est petit, montrer que $\alpha(t)$ et $p(t)$ sont liés par l'équation différentielle suivante : $J_{eq} \ddot{\alpha}(t) + \mu \dot{\alpha}(t) = \frac{Sp(t)}{k} + m_{S_2} g x_{G_{S_2}}$. Exprimer J_{eq} .